

福井県における PM_{2.5} 高濃度時の挙動解明に関する研究 —平成 26~28 年度の県内調査結果と平成 22~26 年度県外データから—

林 辰治・安川聰浩

Behavior Explication at the Time of PM_{2.5} High Concentration in Fukui Prefecture
- Results of the Survey within the Prefecture from 2014 to 2016
and Data from the Prefecture from 2010 to 2014 -

Tatsuji HAYASHI, Akihiro YASUKAWA

1. はじめに

微小粒子状物質 PM_{2.5} は、呼吸器や循環器疾患の原因となることが懸念されている。また、住民の PM_{2.5}への関心も高くなっている。環境基準の超過もみられている。平成 25 年 3 月から高濃度時に県民への注意喚起が実施されたこととなつたが、現在その精度を高めることが必要とされている。今回、県内の多地点で PM_{2.5} の長期モニタリングを行い、高濃度時の出現条件・要因を解析した。

本報では、平成 28 年度までの測定データをもとに、PM_{2.5} 高濃度時の挙動について解析した結果を報告する。

2. 調査方法

平成 25 年 3 月から 6 局体制で、平成 26 年 9 月から 9 局体制で自動測定機による常時監視調査（図 1）を行っている。

また、県外測定局の通年測定データについては国立環境研究所の環境数値データベース¹⁾から取得した。

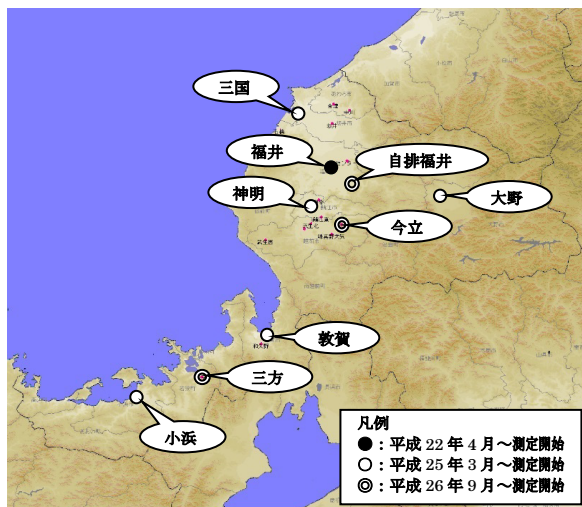


図 1 PM_{2.5} 通年測定局配置図

3. 結果および考察

3. 1 県内測定局の PM_{2.5} 濃度

平成 26 年度は、県内 6 局全局で環境基準非達成となつた（表 1）。また、平成 27 年度では県内 9 局のうち神明局と自排福井局で環境基準非達成となり、平成 28 年度では 9 局全局で環境基準達成となつた。平成 26 年度～28 年度に注意喚起実施基準（日平均 70 μg/m³）を超えた日はなかつた。PM_{2.5} 高濃度日（日平均値が 35 μg/m³ を超えた日）の出現日数も毎年減少している。

福井局と県内 8 局間の PM_{2.5} 日平均値の順位相関係数は 0.879～0.975 と高いことから PM_{2.5} は広域性が強い大気汚染物質といえる。

表 1 県内測定局 PM_{2.5} 日平均濃度 [単位 : μg/m³]

平成26年度 PM _{2.5} 日平均濃度								[単位 : μg/m ³]	
	福井	三国	大野	神明	敦賀	小浜	今立	三方	自排 福井
年平均	15.6	14.3	13.9	16.7	14.5	12.2			
日平均 (99%セカリ値)	39.2	37.9	35.2	37.8	38.1	35.6			
対福井局相関係数	0.969	0.955	0.982	0.940	0.921				
対福井局順位相関係数	0.945	0.943	0.975	0.919	0.879				
35overD(日)	14	13	8	13	15	8			
70overD(日)	0	0	0	0	0	0			

平成27年度 PM _{2.5} 日平均濃度								[単位 : μg/m ³]	
	福井	三国	大野	神明	敦賀	小浜	今立	三方	自排 福井
年平均	14.0	13.5	13.0	15.6	13.7	11.0	13.6	12.2	16.0
日平均 (99%セカリ値)	33.0	33.3	31.9	35.3	34.2	31.0	34.9	32.7	34.8
対福井局相関係数	0.966	0.951	0.978	0.941	0.920	0.966	0.911	0.987	
対福井局順位相関係数	0.948	0.929	0.964	0.920	0.891	0.954	0.884	0.971	
35overD(日)	6	3	4	8	6	4	7	3	7
70overD(日)	0	0	0	0	0	0	0	0	0

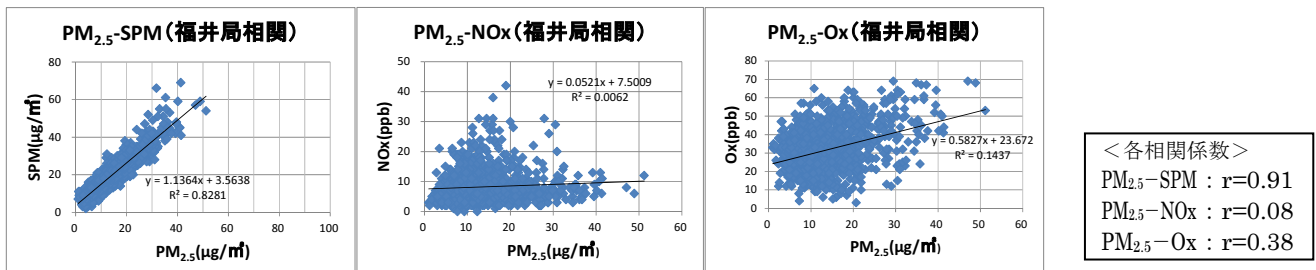
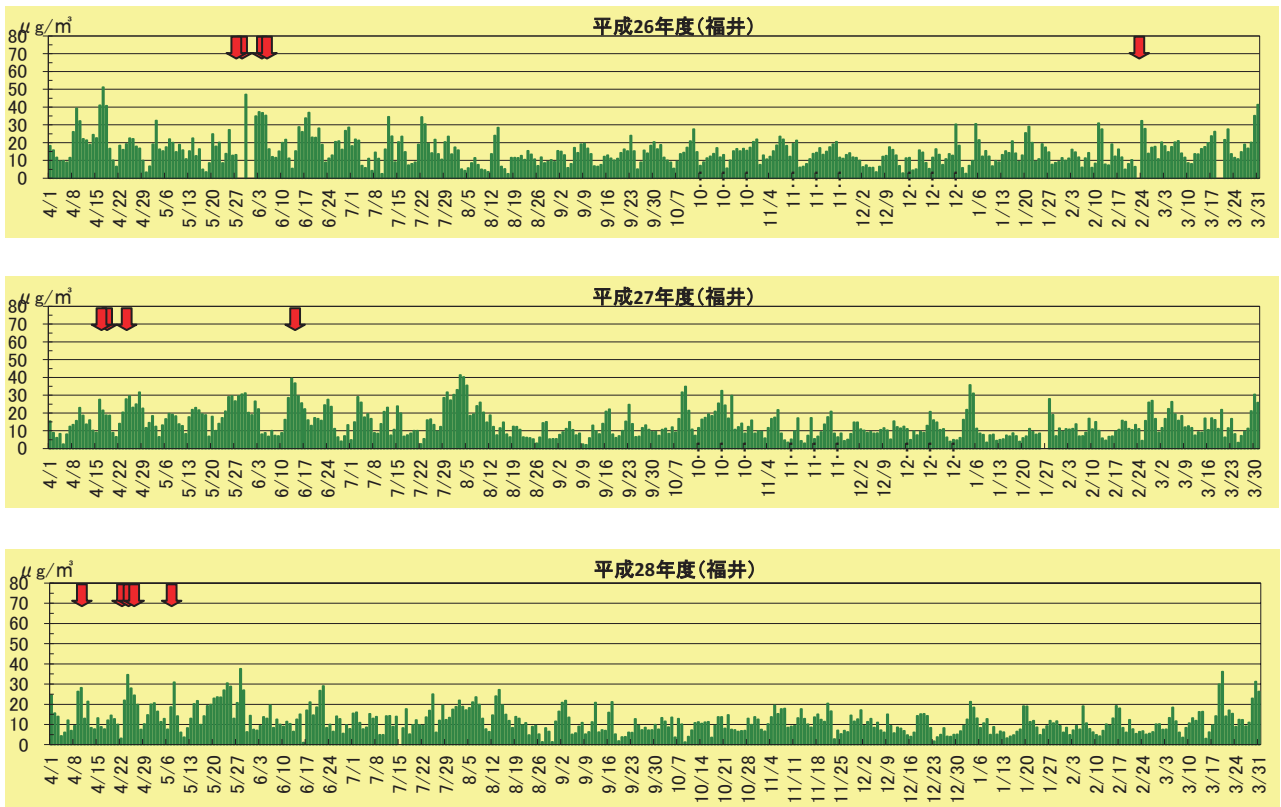
平成28年度 PM _{2.5} 日平均濃度								[単位 : μg/m ³]	
	福井	三国	大野	神明	敦賀	小浜	今立	三方	自排 福井
年平均	12.0	12.1	11.8	13.5	12.2	12.0	12.2	11.4	14.6
日平均 (99%セカリ値)	29.0	28.0	27.3	29.7	28.4	29.3	29.0	27.6	30.7
対福井局相関係数	0.964	0.948	0.982	0.929	0.918	0.954	0.913	0.979	
対福井局順位相関係数	0.945	0.921	0.971	0.918	0.890	0.934	0.892	0.965	
35overD(日)	2	2	2	3	4	4	2	4	3
70overD(日)	0	0	0	0	0	0	0	0	0

*環境基準：年平均値が 15 μg/m³ 以下であり、かつ、1 日平均値が 35 μg/m³ 以下であること

*注意喚起のための暫定的な指針となる値：日平均値 70 μg/m³

■ 環境基準非達成

また、3 年間継続して測定した福井局での PM_{2.5} と SPM、NOx、Ox の関係を図 2 に示す。PM_{2.5}–SPM 間には高い相関があったが、PM_{2.5}–NOx 間の相関は低かった。PM_{2.5} の二次生成機構研究により関連性が示唆²⁾されている PM_{2.5} と Ox についても、高い相関は見られなかつた。福井局では、PM_{2.5} の二次生成機構の影響は少ないと考えられる。

図2 平成26～28年度福井局 PM_{2.5}と他の汚染物質との関係図3 福井局のPM_{2.5}日平均値の年間変動 (■は黄砂観測日³⁾)

3.2 PM_{2.5}日平均値の年間変動

図3に平成26～28年度の福井局のPM_{2.5}日平均値の年間変動を示した。

平成26年度～28年度の特徴として、次の傾向が見られた。
①黄砂日に高濃度となる率が高い
②高濃度日は春季に多く見られ、平成27年度では夏季にも多く出現した
③県内各地の測定局での日平均濃度の変動パターンが類似している。これらの傾向から県内のPM_{2.5}は、東アジアもしくは北東アジアからの気塊の移流を受けていると考えられる。

3.3 高濃度日出現状況

表2に平成26～28年度の県内測定局のPM_{2.5}の高濃度日出現状況を示した。

平成26年度のPM_{2.5}高濃度日の出現日数は18日間で、その内15日間で黄砂または煙霧が観測されている。平成26年度全体では黄砂は5日間観測され、その内3日間が高濃度日となった。高濃度日の内13日間で煙霧が観測された。

平成27年度のPM_{2.5}高濃度日の出現日数は、10日間でその内9日間で黄砂または煙霧が観測されている。福井県において黄砂は4日間観測され、その内1日間が高濃度日となった。高濃度日の内9日間で煙霧が観測された。

平成28年度のPM_{2.5}高濃度日の出現日数は、5日間で全て煙霧が観測され、その内2日間は黄砂が観測された。また、黄砂は高濃度日以外にも3日間観測された。

表2 高濃度日の出現状況(平成26～28年度)

年度	月日	高濃度日: 黄砂観測: ● 煙霧観測: ○										
		福井局	三國局	神明局	大野局	敦賀局	小浜局	今立局	三方局	自排福井	氣象台	教質測定所
26	H26.4.9	39.2	36.5									
	H26.4.16	41.0	39.9	39.3	40.7	42.5	35.8			●	●	
	H26.4.17	51.2	52.9	49.3	53.1	50.2	47.4			○	○	
	H26.4.18	40.7	40.7	36.9	37.5	38.1				○	●	
	H26.5.29	39.6	38.6	38.5								
	H26.5.30	47.1	48.7	46.6	39.9	48.9	46.5					
	H26.5.31	48.9	51.5	48.1	43.7	50.9	48.3					
	H26.6.1	36.1	36.5	36.5		36.3	37.3					
	H26.6.2			35.1		39.3						
	H26.6.3	37.3	36.7	36.7		35.5						
27	H26.6.4	36.7	39.5	39.8	36.8	36.4						
	H26.6.18	36.9	35.8			35.1						
	H26.7.22	36.0	37.8			36.7						
	H27.2.24	35.1				36.1						
	H27.3.30	35.1				35.9	35.2	43.1	36.7			
	H27.3.31	41.4	40.6	42.2		38.5	35.6					
	計	18日間										

3. 5 高濃度時の時間値の変動動向

過去（平成22～26年度）のデータ¹⁾から高濃度時における福井局と県外局の時間値推移を比較することにより福井局と県外局のPM_{2.5}変動動向の関係について解析を行った。過去の高濃度時について後方流跡線解析⁴⁾を行ったところ、全の事例において後方流跡線が福井局に対して西から東に向かっていることが分かった（図4）。また、これらの時期について、後方流跡線の西に位置する県外測定局（図5）と福井局のPM_{2.5}時間値推移を比較したところ、PM_{2.5}濃度のピークが現れる間に時間差があることが過去データ30件中16事例で確認できた（図6～10）。このように、福井局の西に位置する県外測定局では、この時間差分、先行して濃度のピークが現れることから、県外測定局の測定データを監視の参考にすることにより、適切な注意喚起実施への判断情報の一要素になると考えられる。なお、風速データ⁵⁾（気象庁松江測候所）と測定局間距離から算出した気流移動時間は16事例中10事例でPM_{2.5}ピーク時間差に近い値（誤差±10%以内）であった（表3）。

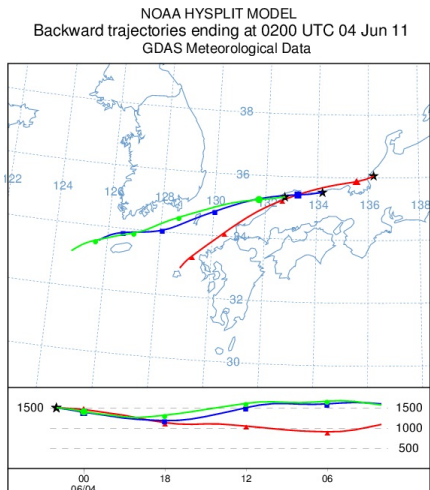


図4 後方流跡線図



図5 県外測定局位置図

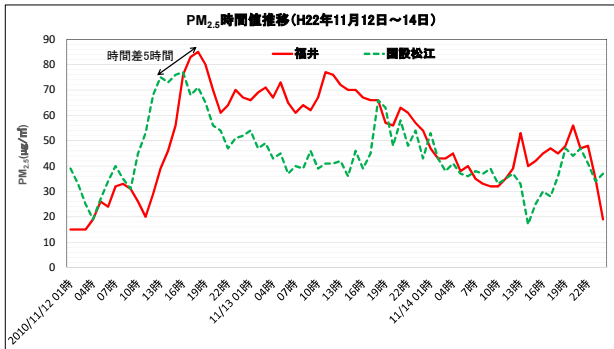


図 6 PM_{2.5} 濃度の時間変動①

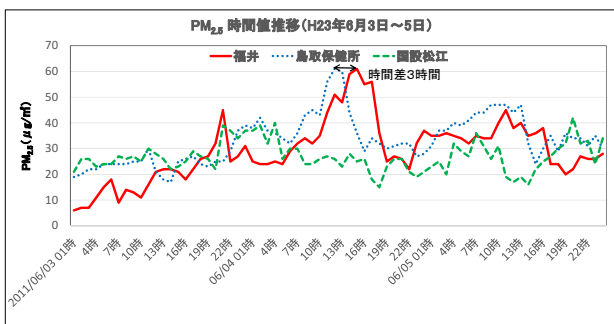


図 7 PM_{2.5} 濃度の時間変動②

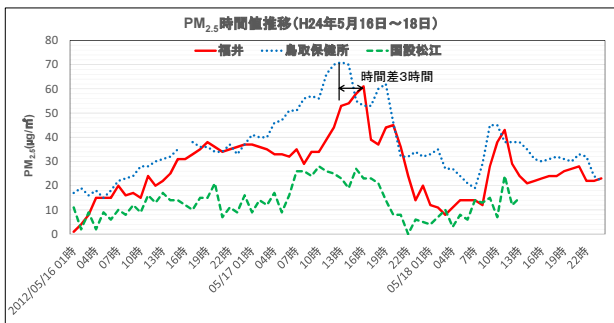


図 8 PM_{2.5} 濃度の時間変動③

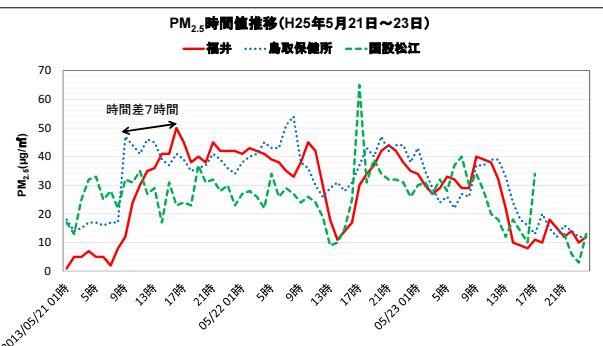
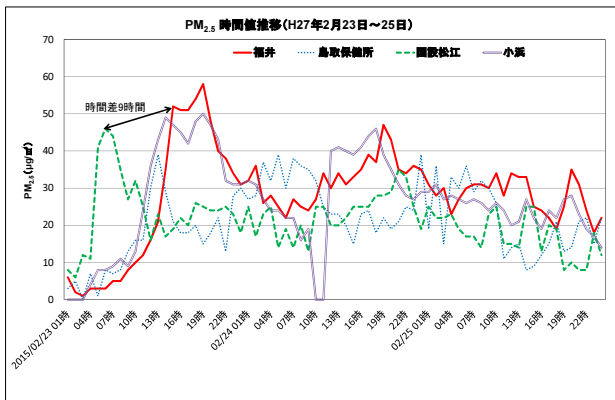


図9 PM_{2.5}濃度の時間変動④

図 10 PM_{2.5} 濃度の時間変動⑤表 3 PM_{2.5} ピーク時間差と気流移動時間との比較

気象庁松江測候所 高層風速測定日時	風速(m/s)	ピーク時間差 (h)	気流移動時間 ※距離 × 1000 ÷ 風速 ÷ 3600(h)	距離(Km)	誤差(%)
2010年 5月 3日 9時	18	5	4.6	297	9.1%
2010年 11月 12日 9時	18	5	4.6	297	9.1%
2011年 2月 4日 21時	12	5	6.9	297	-27.3%
2011年 5月 1日 21時	17	3	3.1	191	-3.9%
2011年 5月 13日 9時	19	4	4.3	297	-7.9%
2011年 6月 4日 9時	17	3	3.1	191	-3.9%
2012年 5月 9日 9時	5	12	10.6	191	13.1%
2012年 5月 17日 9時	17	3	3.1	191	-3.9%
2013年 3月 8日 9時	18	3	2.9	191	1.8%
2013年 5月 13日 9時	8	9	10.3	297	-12.7%
2013年 5月 21日 9時	7	7	7.6	191	-7.6%
2013年 9月 12日 9時	8	7	6.6	191	5.5%
2014年 4月 9日 9時	5	8	10.6	191	-24.6%
2014年 4月 17日 9時	6	15	13.8	297	9.1%
2014年 6月 14日 9時	6	12	13.8	297	-12.7%
2015年 2月 23日 9時	6	9	13.8	297	-34.5%

※福井局～鳥取保健所局間距離 = 191Km

福井局～国設松江局間距離 = 297Km

4. まとめ

平成 26～28 年度の測定および解析結果から本県の PM_{2.5} の実態について以下のことが分かった。

- ①平成 26 年度では 6 局全局において環境基準非達成、平成 27 年度では神明局と自排福井局において非達成、平成 28 年度では 9 局全局で達成となり、年々、高濃度日の出現は減ってきている。

②平成 26 年度から 28 年度では、高濃度日は春季に多く見られ、平成 27 年度では夏季にも多く出現した。また、高濃度が観測された 33 日間の内、29 日間で黄砂や煙霧が観測されている。

③福井局とその他県内 8 測定局間の PM_{2.5} 日平均値の順位相関係数は 0.879～0.975 と高かったことから PM_{2.5} は広域性が強い大気汚染物質といえる。

④PM_{2.5}–SPM 間には高い相関があったが、PM_{2.5}–NO_x 間と PM_{2.5}–Ox 間については、高い相関は見られなかつたことから福井局では、PM_{2.5} の二次生成機構の影響は少ないと考えられる。

過去（平成 22～26 年度）のデータにより PM_{2.5} 高濃度時における福井局と本県西側の県外局の PM_{2.5} 時間値推移を比較したところ、約半数の事例において県外局で先行して PM_{2.5} 濃度のピークが現れることが分かった。このことから県外測定期の測定データは、本県での PM_{2.5} 濃度監視の参考になると考えられる。

参考文献

- 1) 国立環境研究所環境数値データベース
<http://www.nies.go.jp/igreen/index.html>
- 2) 東京都微小粒子状物質検討会報告書（平成23年7月、東京都微小粒子状物質検討会）
- 3) 気象庁ホームページ>各種データ・資料>地球環境・気候>〔地球環境のデータバンク〕黄砂
- 4) NOAA（米国海洋大気圏局）HYSPPLIT MODELより
<http://ready.arl.noaa.gov/hypub-bin/trajtype.pl?runtype=archive>
- 5) 気象庁ホームページ>各種データ・資料>過去の気象データ検索（高層）>高層の気温、風など

福井県におけるヒト由来薬剤耐性菌の遺伝子解析と耐性遺伝子の伝播状況に関する研究

東方美保・岩崎理美・外川佳奈・檀野由季子・
山本政弘・小木圭子・石畠 史・大村勝彦

Genetic Analysis of Clinically Isolated Drug-resistant Gram-Negative Bacilli
and Investigation into Spread of Antimicrobial Resistance Genes in Fukui Prefecture

Miho TOHO, Satomi IWASAKI, Kana TOGAWA, Yukiko DANNO,
Masahiro YAMAMOTO, Keiko KOGI, Fubito ISHIGURO, Katsuhiko OMURA

1. はじめに

最初の抗菌薬であるペニシリンが、1928年に発見され1940年代に実用化されてから、さまざまな耐性機構による薬剤耐性菌が出現し、社会的な問題となっている。中でも β -ラクタマーゼは β -ラクタム系抗菌薬を加水分解する酵素で、その産生により多剤耐性化する腸内細菌科細菌およびブドウ糖非発酵菌群などのグラム陰性桿菌が重要視されている¹⁾。

β -ラクタマーゼについては、ペニシリナーゼ、第三世代セファロスポリンを分解する基質スペクトル拡張型 β -ラクタマーゼ(Extended-Spectrum β -Lactamase:以下、ESBL)²⁾、AmpC型 β -ラクタマーゼ³⁾、カルバペネマーゼ⁴⁾等いろいろな種類が知られている⁵⁻⁷⁾。特にカルバペネマーゼは、セファロスポリン系抗菌薬やカルバペネム系抗菌薬を含む全ての β -ラクタム系抗菌薬を分解するため、カルバペネマーゼ産生菌による感染症は治療が難航する傾向にある。海外においては、NDM型⁸⁾やKPC型⁹⁾等の新たなタイプのカルバペネマーゼ産生腸内細菌科細菌(carbapenemase-producing Enterobacteriaceae: CPE)の拡散が報告されており、国内における侵淫状況および検出動向が注目されている¹⁰⁾。さらに、プラスミド性の遺伝子による耐性獲得の可能性があるESBL、AmpC型 β -ラクタマーゼ、カルバペネマーゼは、同一菌種間だけでなく菌種の違いを超えてその耐性遺伝子が伝播される可能性があり⁷⁾、その動向が警戒されている。

そこで、福井県内においてヒトから分離された薬剤耐性グラム陰性桿菌の複数の菌種について薬剤耐性状況を調査した。さらに、 β -ラクタマーゼ遺伝子を検索し、薬剤耐性遺伝子の伝播状況を解析したので報告する。

2. 方法

2. 1 供試患者由来株

2. 1. 1 薬剤耐性菌

平成25年4月～平成26年4月に福井県内の協力医療機関から提供されたヒト由来薬剤耐性菌(サルモネラ属菌、大腸菌以外の菌種)187株を薬剤感受性試験および薬剤耐性遺伝子検索の対象とした。また、平成28年5月～平成29年3月に、1協力医療機関から提供された薬剤耐性菌100株について、 β -ラクタマーゼ遺伝子をスクリーニング的に検索した。

2. 1. 2 サルモネラ属菌および大腸菌

平成25年4月～平成29年2月に、福井県内の協力医療機関から提供されたヒト由来のサルモネラ属菌57株および大腸菌602株について、血清型別を行い、解析対象とした。

2. 2 方法

2. 2. 1 薬剤感受性試験

ドライプレート法による薬剤感受性試験は、ドライプレート‘栄研’(栄研化学)のDP33またはDP35を使用し、添付文書に従って抗菌剤(17剤または19剤)についての最少発育阻止濃度(minimum inhibitory concentration: MIC)を測定した。

Kirby-Bauer(KB)法による薬剤感受性試験は、セフオタキシム(CTX)、シプロフロキサン(CPFX)、ナリジクス酸(NA)、アンピシリン(ABPC)、テトラサイクリン(TC)、ストレプトマイシン(SM)、スルフィソキサゾール(Su)、ST合剤(ST)、ゲンタマイシン(GM)、カナマイシン(KM)、クロラムフェニコール(CP)およびホスホマイシン(FOM)の12種類の薬剤感受性試験用ディスク(BBL)を使用して行った。

R(耐性)、I(中間)、S(感性)の判定はClinical and Laboratory Standards Instituteによるブレイクポイント規定文書M100-S22¹¹⁾に準拠した。

2. 2. 2 薬剤耐性遺伝子の検索

薬剤耐性遺伝子については、17種類の β -ラクタマーゼ遺伝子を4系統のマルチプレックスPCR法により検出する中村らの方法¹²⁾で検索を行った(カルバペネマーゼ:IMP-1型、IMP-2型、VIM-2型、KPC型、NDM型、GES型の6種類、AmpC型 β -ラクタマーゼ:MOX型、CIT型、DHA型、ACC型、EBC型、FOX型の6種類、ESBL:CTX-M-1 group(以下、G)、CTX-M-2 G、CTX-M-9 G、TEM型、SHV型の5種類)。

2. 2. 3 β -ラクタマーゼ産生の確認

β -ラクタマーゼ遺伝子がPCR法で陽性となった菌株について、国立感染症研究所による薬剤耐性菌研修会資料¹³⁾に準じて β -ラクタマーゼ産生を確認した。すなわち、各種 β -ラクタマーゼ阻害剤を用いたディスク法において、阻止円径の拡張が認められるかどうかにより、 β -ラクタマーゼ産生の有無を判定した。またカルバペネマーゼ産生の確認にはCarbaNPテストも実施した。

2. 2. 4 薬剤耐性遺伝子配列の確認

β -ラクタマーゼ産生菌である可能性が高い菌株について、国立感染症研究所病原体ゲノム解析研究センターに依

表1 セフタジム(CAZ)に対するMIC

セフタジム(CAZ)	>16	16	8	4	2	1	1>	計	R (耐性)	I (中間)	耐性率 (%)
<i>Klebsiella</i> spp.			1		3	1	6	11	1	0	9.1
<i>Enterobacter</i> spp.	7	5	5	1	2		52	72	12	5	23.6
<i>Serratia</i> spp.							11	11	0	0	0.0
<i>Citrobacter</i> spp.	6		2	1			4	13	6	2	61.5
<i>Morganella</i> spp.	1	1	1				1	4	2	1	75.0
<i>Proteus</i> spp.							13	13	0	0	0.0
<i>Pseudomonas aeruginosa</i>	11	1	2	6	15	1	3	39	11	1	30.8
<i>Stenotrophomonas maltophilia</i>	8	4	4		2		2	20	8	4	60.0
<i>Acinetobacter</i> spp.					1			1	0	0	0.0
その他の非腸内細菌科細菌	1	1					1	3	1	1	66.7
	34	13	14	9	22	2	93	187	41	14	29.4

表2 セフェピム(CFPM)に対するMIC

セフェピム(CFPM)	>16	16	8	4	2	1	1>	計	R (耐性)	I (中間)	耐性率 (%)	
<i>Klebsiella</i> spp.	5				2	1		3	11	5	0	45.5
<i>Enterobacter</i> spp.				1	1	2		68	72	0	0	0.0
<i>Serratia</i> spp.							11	11	0	0	0.0	
<i>Citrobacter</i> spp.	2					1		10	13	2	0	15.4
<i>Morganella</i> spp.						1		3	4	0	0	0.0
<i>Proteus</i> spp.							13	13	0	0	0.0	
<i>Pseudomonas aeruginosa</i>	8	3	11	7	6	2	2	39	8	3	28.2	
<i>Stenotrophomonas maltophilia</i>	14	2					4	—	—	—	—	
<i>Acinetobacter</i> spp.		1						1	0	1	100.0	
その他の非腸内細菌科細菌	1			1	1			3	1	0	33.3	
	30	6	13	11	11	2	114	167	16	4	12.0	

表3 イミペネム(IPM)に対するMIC

イミペネム(IPM)	>8	8	4	2	1	0.5	0.25	0.25>	計	R (耐性)	I (中間)	耐性率 (%)
<i>Klebsiella</i> spp.							3	8	11	0	0	0.0
<i>Enterobacter</i> spp.				2	6	22	10	32	72	0	2	2.8
<i>Serratia</i> spp.					2	4		5	11	0	0	0.0
<i>Citrobacter</i> spp.						2		11	13	0	0	0.0
<i>Morganella</i> spp.		1	1	2				4		1	1	50.0
<i>Proteus</i> spp.		1	5	3				4	13	1	5	46.2
<i>Pseudomonas aeruginosa</i>	10	6	4	1	11	6		1	39	16	4	51.3
<i>Stenotrophomonas maltophilia</i>	16				1			2	—	—	—	—
<i>Acinetobacter</i> spp.	1							1	1	0	1	100.0
その他の非腸内細菌科細菌		1	1		1			3		0	1	33.3
	27	7	7	9	25	35	13	63	167	19	13	19.2

表4 メロペネム(MEPM)に対するMIC

メロペネム(MEPM)	>8	8	4	2	1	0.5	0.25	0.25>	計	R (耐性)	I (中間)	耐性率 (%)
<i>Klebsiella</i> spp.							11	11		0	0	0.0
<i>Enterobacter</i> spp.					2	1	69	72		0	0	0.0
<i>Serratia</i> spp.							11	11		0	0	0.0
<i>Citrobacter</i> spp.			1		1		11	13		0	1	7.7
<i>Morganella</i> spp.							4	4		0	0	0.0
<i>Proteus</i> spp.							13	13		0	0	0.0
<i>Pseudomonas aeruginosa</i>	11	4	1	8	1	6		8	39	15	1	41.0
<i>Stenotrophomonas maltophilia</i>	15				1			4	—	—	—	—
<i>Acinetobacter</i> spp.	1							1	1	1	0	100.0
その他の非腸内細菌科細菌	1	1						1	3	1	1	66.7
	28	5	1	9	2	9	1	132	167	17	3	12.0

頼して次世代シークエンサー(Next Generation Sequencer: NGS)解析による網羅的遺伝子配列解析を実施し、薬剤耐性遺伝子配列が解読されるか確認した。

3. 結果および考察

3. 1 薬剤耐性菌株(サルモネラ属菌、大腸菌以外の菌種)の解析

3. 1. 1 ドライプレート法による薬剤感受性試験

β -ラクタム系抗菌薬に対するMIC測定結果を表1～4に示した。なお、抗菌薬に対する細菌の感受性は菌種により異なるため、R、I、Sの判定基準は菌種ごとに設定されている¹¹⁾。菌種によっては、もともとその薬剤の作用部

位を持たず自然耐性である等、判定基準自体が設定されていない場合があり、その場合耐性度等を評価する母数から除いた。ドライプレート法においては、R または I と判定された場合に薬剤耐性株とみなした。

セフェム系薬剤については、セファロスボリン系第三世代のセフタジム(CAZ)(表1)では55/187株(29.4%)、セファロスボリン系第四世代のセフェピム(CFPM)(表2)では20/167株(12.0%)と差がみられた。また、カル

バペネム系薬剤については、イミペネム(IPM)(表3)で32/167株(19.2%)、メロペネム(MEPM)(表4)で20/167株(12.0%)と比較的割合が低かった。また、カルバペネム系薬剤耐性株の多くが *Pseudomonas aeruginosa* 等のブドウ糖非発酵菌群であり、腸内細菌科細菌は11株のみであった(表3、4)。

3. 1. 2 β-ラクタマーゼ遺伝子の検出状況

17種類の型のβ-ラクタマーゼ遺伝子を4系列のマルチ

表5 カルバペネマーゼの遺伝子検査および産生検査

β-ラクタマーゼ遺伝子	検査数	カルバペネマーゼ						陽性数 計	うち 産生テスト 陽性
		IMP-1	IMP-2	VIM-2	NDM	GES	IMP-1, GES		
<i>Klebsiella</i> spp.	11							0	0
<i>Enterobacter</i> spp.	71	3	2	3	1			1	10
<i>Serratia</i> spp.	11							0	0
<i>Citrobacter</i> spp.	13					1		1	0
<i>Morganella</i> spp.	4							0	0
<i>Proteus</i> spp.	13				10			10	0
<i>Pseudomonas aeruginosa</i>	39						1	1	1
<i>Stenotrophomonas maltophilia</i>	19		2		1			3	2
<i>Acinetobacter</i> spp.	1							0	0
その他の非腸内細菌科細菌	3	1						1	1
	185	4	4	3	12	1	1	26	8

表6 AmpC型β-ラクタマーゼの遺伝子検査および産生検査

β-ラクタマーゼ遺伝子	検査数	AmpC						陽性数 計	うち 産生テスト 陽性
		EBC	CIT	DHA	FOX	CIT, FOX	MOX, CIT		
<i>Klebsiella</i> spp.	11	5		1				6	0
<i>Enterobacter</i> spp.	71	12			2			14	13
<i>Serratia</i> spp.	11	1						1	1
<i>Citrobacter</i> spp.	13		4		1	3		8	6
<i>Morganella</i> spp.	4			3				3	0
<i>Proteus</i> spp.	13							0	0
<i>Pseudomonas aeruginosa</i>	39	1						1	0
<i>Stenotrophomonas maltophilia</i>	19	1	14				1	16	0
<i>Acinetobacter</i> spp.	1		1					1	0
その他の非腸内細菌科細菌	3	1						1	0
	187	21	19	4	3	3	1	51	20

*ACCは全ての株で不検出

表7 ESBLの遺伝子検査および産生検査

β-ラクタマーゼ遺伝子	検査数	CTX-M G			検査数	SHV	TEM	うち 産生テスト 陽性
		M-1 G	M-2 G	M-9 G				
<i>Klebsiella</i> spp.	11		4	3	10	2	3	7
<i>Enterobacter</i> spp.	71				65		3	0
<i>Serratia</i> spp.	11				11			0
<i>Citrobacter</i> spp.	13		2		8		3	0
<i>Morganella</i> spp.	4	1		1	3			1
<i>Proteus</i> spp.	13				13			0
<i>Pseudomonas aeruginosa</i>	39				36		1	0
<i>Stenotrophomonas maltophilia</i>	19				19	3	1	0
<i>Acinetobacter</i> spp.	1				1			0
その他の非腸内細菌科細菌	3				3			0
	185	1	6	4	169	5	11	8

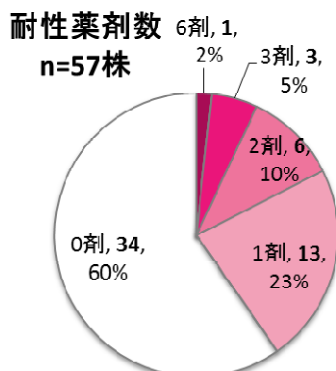


図1 サルモネラ属菌の薬剤耐性状況

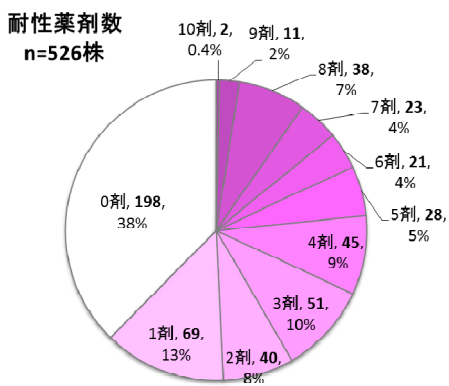


図2 大腸菌の薬剤耐性状況

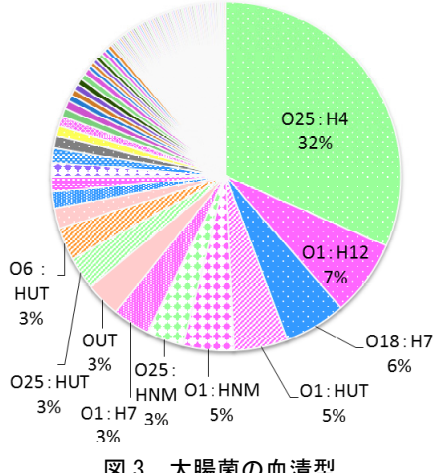


図3 大腸菌の血清型

プレックスPCR法で検索したところ、表5～7のような検出結果となった。1株で複数の種類の β -ラクタマーゼ遺伝子が陽性となる菌株が22株存在し、1種類以上の型の β -ラクタマーゼ遺伝子がPCR法で陽性となった菌株は81株であった。

3. 1. 3 β -ラクタマーゼ産生試験結果

PCR法で β -ラクタマーゼ遺伝子陽性となった菌株について、各種酵素阻害剤を用いたディスク法およびCarba NP testを実施して β -ラクタマーゼ酵素作用を確認したところ、PCR法による薬剤耐性遺伝子検出結果から推定される性状と合致する菌株は35株であった。

性状が合致しなかった菌株で多くを占めたのは、そもそも耐性を示さないS(感性)の菌株であるため産生テスト

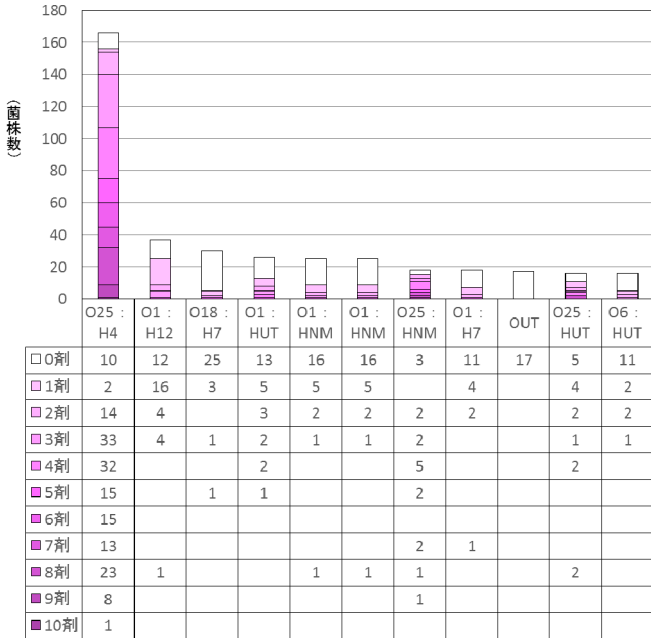
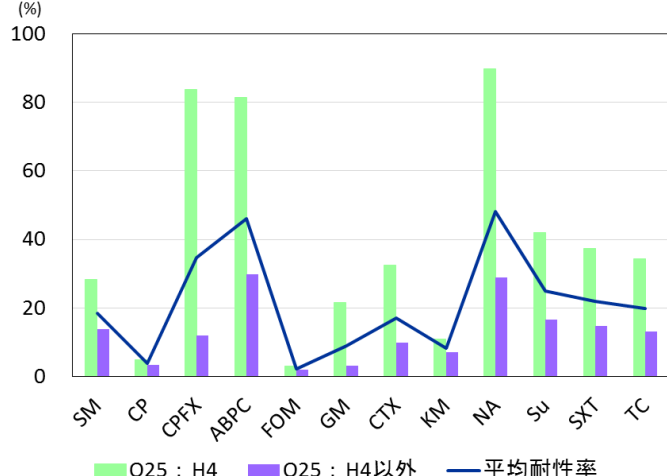


図4 主な血清型での薬剤耐性状況(大腸菌)

図5 大腸菌の薬剤別耐性率
(O25:H4, O25:H4以外の比較)

での阻止円拡張の判定が困難なケースであった。また、特定の菌種について特定の型の β -ラクタマーゼ遺伝子が過半数超の高率で陽性を示したが産生テストでは陰性となった組み合わせとして、*Proteus* spp.におけるNDM型、*Stenotrophomonas maltophilia*におけるCIT型等が挙げられる。これらは菌種ゲノム配列に特異的な偽陽性反応である可能性も考えられる。

3. 2 サルモネラ属菌および大腸菌の解析

3. 2. 1 KB法による薬剤感受性試験

KB法による薬剤感受性試験に基づく薬剤耐性の判定においては、R(耐性)を薬剤耐性菌とし、I(中間)は感受性菌とみなした。

サルモネラ属菌は図1のとおり、耐性薬剤数が1剤以上である薬剤耐性菌は40%であったが、その耐性薬剤数は3剤以下がほとんどで、4剤以上は1株(6剤耐性)のみだった。それに対し、大腸菌は薬剤耐性菌の占める割合が62%と過半数を超え、また耐性薬剤数が4剤以上である株

は31%に及ぶなど、多剤耐性の傾向がより強かった(図2)。

薬剤感受性試験の対象とした大腸菌の血清型は図3のとおりであり、O25:H4が166株と多く、32%を占めた。O1:H12、O18:H7、O1:HUT、O1:HNM等が続き、主要10血清型でほぼ70%に達する。これらの血清型別の薬剤耐性状況は図4のとおりで、特にO25:H4の薬剤耐性度が高い傾向が見られた。平均耐性薬剤数でいえば、大腸菌全体では2.5剤となるのに対し、O25:H4では4.7剤、O25:H4以外では1.5剤となる。また、薬剤別の耐性率は図5のとおりで、特にCPFX、NA、GM、CTX、ABPC等においてO25:H4とO25:H4以外での耐性率の差が大きい傾向が見られた。

3.2 CTX-M型ESBL遺伝子のPCR法による検出(大腸菌)

薬剤感受性試験(KB法)でCTXに耐性となった90株および医療機関でESBLと判定された123株について、CTX-M型ESBL遺伝子をgroup別に検出するマルチプレックスPCR法により検索した。その結果、CTX-M-1Gが32株、CTX-M-2Gが14株、CTX-M-9Gが95株で陽性となった。

3.3 NGS解析による薬剤耐性遺伝子の検索および確認

β -ラクタマーゼ遺伝子がPCR法で陽性となった80株について、NGS解析による網羅的遺伝子配列解析を実施し、薬剤耐性遺伝子配列を検索した(表8)。

β -ラクタマーゼ遺伝子としては、CTX-M型が53株、TEM型が18株、AmpC型が9株、SHV型が6株で確認できた。さらに、カルバペネマーゼであるIMP-1型が2株で確認できたが、水平伝播による拡散の危険性が高い腸内細菌科細菌ではなく、*Pseudomonas monteilii*であった。結局、延べ95種類の β -ラクタマーゼ遺伝子が確認された。

3.4 医療機関への検査結果フィードバック定期化の試み

平成28年5月～平成29年3月に1医療機関から提供された薬剤耐性菌の菌株100株について、17種類の型の β -ラクタマーゼ遺伝子を4系列のマルチプレックスPCR法で検索した。その結果、延べ112種類の型の β -ラクタマーゼ遺伝子が80株において陽性となった。なお、即時性を重視し、スクリーニング検査的な結果であると断つたうえで、早期に結果をフィードバックするべく、定期的な結果報告を心がけた。

3.5 考察

今回、福井県内の医療機関より提供を受けたヒト由来のグラム陰性桿菌菌株(平成25年4月～平成26年4月に収集)および大腸菌菌株(平成25年4月～平成29年2月に収集)について、薬剤耐性状況を解析し、薬剤耐性遺

伝子のうち特にセフェム系薬剤およびカルバペネム系薬剤に耐性を獲得する β -ラクタマーゼ遺伝子に焦点を絞って検索を行った。

その結果、最も警戒すべきCPEは確認されなかった。特に、“スーパー耐性菌”などと報道される海外由来の新たなタイプであるNDM型⁸⁾やKPC型⁹⁾の伝播は確認されず、国内にすでに定着しているとされるIMP-1型が、*Pseudomonas monteilii*で確認されたのみであった。

日本国内でのCPE確認の研究としては、平成22年9～12月に国立感染症研究所細菌第二部に送付された153株の薬剤耐性腸内細菌科細菌(カルバペネム系、フルオロキノロン系、アミノ配糖体系の3系統全てにRと判定された菌株)において、NDM-1型が2株、KPC型が2株、IMP-1型が72株で確認され、CTX-M型 β -ラクタマーゼ遺伝子が48株で陽性だったとの報告¹⁴⁾がある。さらに、その研究も含めての数字と考えられるが、平成22年～平成26年11月に国立感染症研究所細菌第二部に送付された外来型CPEは、NDM型が25株、KPC型が15株、OXA-48型が2株とされている¹⁵⁾。これらの菌株が全国の医療機関から収集されていることを考慮すると、今回の調査対象菌株において外来型CPEが確認されなかつたのは妥当な結果ともいえる。

なお、カルバペネム耐性腸内細菌科細菌(Carbapenem-Resistant Enterobacteriaceae:CRE)感染症は、感染症法に基づく感染症発生動向調査の5類全数把握疾患に平成26年9月19日に追加された。その届出基準は、今回の調査における耐性菌株の定義よりも厳しい条件で、今回解析対象とした菌株のうち届出対象に該当するのは2株程度と、それほど強い耐性を示す株は含まれていなかつたともいえる。同様の調査としては愛媛県において、CRE感染症届出患者由来菌株を解析したがCPEではなく、薬剤耐性緑膿菌においてIMP-1型が9株確認され、またESBL産生菌として収集した菌株においてAmpC型 β -ラクタマーゼ遺伝子が確認された報告¹⁶⁾がある。

遺伝子検出に用いたマルチプレックスPCR系については、多種類の遺伝子をまとめて解析可能であるが、偽陽性が見込まれる可能性も推定された。特定の菌種について、PCR陽性であるが β -ラクタマーゼ産生が陰性となる株が複数存在した。ただし、遺伝子として存在していても、発現等のプロセスに至らない場合も考えられる。また、特にAmpC型 β -ラクタマーゼ遺伝子については、染色体上に元々保有する菌種もある³⁾。より詳細な遺伝子配列解読まで行わないとどのケースか確認できないこともあり、スクリーニング検査としての活用にとどめ、より確かな判定が必要な場合には増幅遺伝子配列の確認や β -ラクタマーゼ産生の確認等を併用すべきと思われる。

結局、確認された β -ラクタマーゼ遺伝子については、

表8 NGS解析により確認した β -ラクタマーゼ遺伝子

β -ラクタマーゼ遺伝子	NGS 解析 菌株数	CTX-M型				SHV型	TEM型	AmpC型	カルバペ ネム マーゼ	その他
		CTX- M-15	CTX- M-2	CTX- M-14	CTX- M-27					
<i>Escherichia coli</i>	48	4	1	12	27			15	1	3
<i>Klebsiella</i> spp.	7		4	1		6				1
<i>Enterobacter</i> spp.	11								4	
<i>Citrobacter</i> spp.	4		2					2	2	2
<i>Morganella</i> spp.	2			1				1	2	
<i>Stenotrophomonas maltophilia</i>	6		1							1
<i>Pseudomonas</i> spp.	2									2
	80	4	8	14	27	6	18	9	2	7

菌種によって種類に偏りが見られ、腸内細菌科細菌の菌種を超えての水平伝播と考えられるような症例はあまり見いだせなかった。しかし、これまで福井県内でのヒト由来菌株について確認できていたのは、大腸菌においてのESBL遺伝子だけであり¹⁷⁻¹⁹⁾、他の10菌種において、CTX-M型、SHV型、TEM型、AmpC型等の β -ラクタマーゼ遺伝子を確認できた意義は大きい。

大腸菌については、特にCTX-M型ESBL遺伝子の拡散が問題となっており²⁰⁾、当センターにおいても平成19年以降ヒト由来株における検索を行ってきた¹⁷⁻¹⁹⁾。今回、213株中141株がCTX-M group別PCRで陽性となり、その割合はCTX-M-1Gが22.7%、CTX-M-2Gが9.9%、CTX-M-9Gが67.4%であった。他の報告¹⁷⁻²⁰⁾と比べるとややCTX-M-2Gが少ないが、調査時期の違いによる可能性もある。4剤以上の多剤耐性菌株48株についてNGS解析を行ったところ、*bla*CTX-M-27、*bla*TEM-1B、*bla*CTX-M-14、*bla*CTX-M-15等の β -ラクタマーゼ遺伝子を延べ63種類確認できた。諸外国では同一クローンで病原性を有するCTX-M-15型の血清型O25:H4²¹⁾が、ヒトから高頻度に分離されていることから公衆衛生学的に注目されている。今回確認された*bla*CTX-M-15は9剤等の多剤耐性菌株での検出で、またMLSTの型もST131であることが同時に判明し、NGS解析の有用性を痛感した。

4.まとめ

平成25年4月～平成26年4月に福井県内の協力医療機関から提供されたヒト由来薬剤耐性菌（サルモネラ属菌、大腸菌以外の菌種）187株について、 β -ラクタマーゼ産生菌を検索した。その結果、20株において延べ32種類の β -ラクタマーゼ遺伝子配列が確認された。カルバペネマーゼとしては*bla*IMP-1が2株確認されたが、腸内細菌科細菌ではなく、また海外由来の新たなタイプでもなかった。

また、平成25年4月～平成29年2月に、福井県内の協力医療機関から提供されたヒト由来のサルモネラ属菌57株および大腸菌602株について、薬剤感受性試験を行い、その薬剤耐性傾向を解析した。サルモネラ属菌については、薬剤耐性菌が占める割合は40%で、比較的低かった。それに対し大腸菌は薬剤耐性菌の占める割合が62%と過半数を超える、また耐性薬剤数が4剤以上である株が31%を占めるなど、多剤耐性の傾向がより強かつた。

大腸菌については、4剤以上の多剤耐性菌株48株についてNGS解析を行ったところ、 β -ラクタマーゼ遺伝子を延べ63種類確認できた。その中には、*bla*CTX-M-15保有かつST131の菌株が4株含まれていた。

謝辞

菌株提供にご協力いただきました、福井県内の医療機関（福井県済生会病院、福井勝山総合病院、市立敦賀病院、杉田玄白記念公立小浜病院、福井県立病院）の検査担当者の皆様にお礼申しあげます。また、NGS解析を実施いただきました国立感染症研究所病原体ゲノム解析研究センター黒田誠先生に深謝いたします。

参考文献

1) 矢野寿一 他：海外における薬剤耐性グラム陰性桿菌の

- 動向、日本化学療法学会雑誌, 59(1), 8-16(2011)
- 2) Zhao W. et al. : Epidemiology and Genetics of CTX-M Extended-Spectrum β -Lactamases in Gram-Negative Bacteria, Crit Rev Microbiol, 39(1), 79-101(2013)
- 3) Jacoby G. : AmpC β -Lactamases, Clinical Microbiology Reviews, 22(1), 161-182(2009)
- 4) Queenan A. et al. : Carbapenemases : the Versatile β -Lactamases, Clinical Microbiology Reviews, 20(3), 440-458(2007)
- 5) 荒川宜親：広域 β -ラクタム薬耐性に関与する β -ラクタマーゼの特徴と遺伝的相関、日本臨床微生物学雑誌, 13(3), 150-161(2003)
- 6) Bush K. et al. : Updated Functional Classification of β -Lactamases, Antimicrob Agents Chemother, 54(3), 969-976(2010)
- 7) 荒川宜親： β -ラクタマーゼの出現の歴史と世界的な動向、臨床と微生物, 42, 297-304(2015)
- 8) Yong D. et al. : Characterization of a New Metallo- β -Lactamase Gene BLM-1, and a Novel Erythromycin Esterase Gene Carried on a Unique Genetic Structure in Klebsiella Pneumoniae Sequence Type 14 from India, Antimicrob Agents Chemother, 53, 5046-5054(2009)
- 9) Yigit H. et al. : Novel Carbapenem-Hydrolyzing β -Lactamase, KPC-1, from a Carbapenem-Resistant Strain of Klebsiella Pneumoniae, Antimicrob Agents Chemother, 45, 1151-1161(2011)
- 10) 感染研感染症疫学センター：カルバペネム耐性腸内細菌科細菌感染症、IASR, 35, 281-282(2014)
- 11) Clinical and Laboratory Standards Institute, Performance Standards for Antimicrobial Susceptibility Testing ; Twenty-Second Informational Supplement, M100-S22, 32(3),(2012)
- 12) 中村彰宏 他：耐性遺伝子検出、臨床と微生物, 39, 591-599(2012)
- 13) 国立感染症研究所細菌第二部第一室：薬剤耐性菌研修会資料(2016)
- 14) 荒川宜親 他：我が国における新たな多剤耐性菌の実態に関する研究、厚生労働科学研究費補助金「新型薬剤耐性菌等に関する研究」平成22年度報告書, 11-27(2011)
- 15) 鈴木里和 他：外来型カルバペネマーゼ産生腸内細菌科細菌の検出状況、IASR, 35, 287-288(2014)
- 16) 仙波敬子 他：地研における薬剤耐性菌解析の取り組み、衛生微生物技術協議会第36回研究会講演抄録集, 28(2015)
- 17) 石畠史 他：福井県内における人および鶏肉由来基質特異性拡張型 β ラクタマーゼ産生大腸菌の分子疫学的解析、日獸会誌, 63, 883-887(2010)
- 18) 石畠史 他：鶏肉およびヒト由来CTX-M型基質特異性拡張型 β ラクタマーゼ産生大腸菌の分子疫学的解析、福井県衛生研究センター年報, 9, 33-37(2011)
- 19) 石畠史 他：ヒト由来CTX-M型基質特異性拡張型 β ラクタマーゼ産生大腸菌の性状、福井県衛生環境研究センター年報, 10, 96-98(2012)
- 20) Suzuki S. et al. : Change in the Prevalence of Extended-Spectrum- β -lactamase-Producing Escherichia coli in Japan by Clonal Spread, J Antimicrob Chemother, 63, 72-79(2009)
- 21) Nicolas-Chanoine M.H. et al. : Intercontinental Emergence of Escherichia coli Clone O25 : H4-ST131 Producing CTX-M-15, J Antimicrob Chemother, 61, 273-281(2008)

福井県内に流通する蜂蜜および玄米中 ネオニコチノイド系農薬等の残留実態調査

平井知里・酒井康行・保月勇志・山岸 浩

Survey of Neonicotinoid Insecticides in Honey and Brown Rice in Fukui Prefecture

Chisato HIRAI, Yasuyuki SAKAI, Takeshi HOZUKI, Hiroshi YAMAGISHI

1. はじめに

ネオニコチノイド系農薬は有機リン系農薬の代替農薬として1990年代半ばから世界各国で使われ始めた農薬であるが、近年ミツバチなど花粉媒介昆虫への毒性が問題視されている¹⁻⁸⁾。カメムシ目、コウチュウ目など広範な害虫に有効で、また、残効性も高いことから、日本においても水稻、野菜、果樹等の殺虫剤として多用されている^{9,10)}。近年、野菜・果実における有機リン系農薬や有機塩素系農薬の検出が減少傾向にある一方で、ネオニコチノイド系農薬については検出率が増加しているとの報告¹¹⁾も見られ、本県においても、食品中の残留農薬に関する一層の安全性確保に向け、ネオニコチノイド系農薬等を含めた農薬検査項目の拡充が求められている。

当センターでは、県内に流通する食品中のネオニコチノイド系農薬等の残留実態を把握することを目的として、平成27年度に、蜂蜜および玄米を対象に、QuEChERS抽出と固相カートリッジ精製を組み合わせたSTQ法^{12,13)}によるネオニコチノイド系農薬および代謝物等16化合物の一斉分析法を検討し、前号で報告¹⁴⁾している。今回、開発した一斉分析法を用いて、福井県内に流通する蜂蜜および玄米の残留実態調査を行ったので、その結果を報告する。

2. 方法

2. 1 試料

蜂蜜は、平成27年5月から平成28年8月に県内の量販店等で販売されていた国産蜂蜜を試料とした（表1）。

表1 試料の内訳（蜂蜜）

試料	蜜の種類	調査 検体数
蜂蜜	百花	14
	アカシア	11
	ミカン	8
	リンゴ	5
	レンゲ	4
	クローバー	3
	トチ	3
	からす山椒	2
	菜の花	2
	ハゼ	2
	桜	1
	そば	1
計 56		

玄米は、平成26年9月から平成28年9月に行政検査検体として搬入された県内産水稻うるち玄米を、粉碎後、冷凍保存（-30°C）したものと試料とした（表2）。

表2 試料の内訳（玄米）

試料	生産年	品種	調査 検体数
玄米	2014	コシヒカリ	9
		あきさかり	1
	2015	コシヒカリ	8
		あきさかり	1
	2016	日本晴	1
		コシヒカリ	6
		あきさかり	3
		ハナエチゼン	1
計 30			

2. 2 調査対象農薬

アセタミプリド、イミダクロプリド、エチプロール、クロチアニジン、ジノテフラン、チアクロプリド、チアメトキサム、ニテンピラム（代謝物である2-[N-（6-クロロ-3-ピリジルメチル）-N-エチル]アミノ-2-メチルイミノ酢酸（以下、CPMA）およびN-（6-クロロ-3-ピリジルメチル）-N-エチル-N-メチルホルムアミジン（以下、CPMF）を含む）、フィプロニル、フロニカミド（代謝物であるN-（4-トリフルオロメチルニコチノイル）グリシン（以下、TFNG）および4-トリフルオロメチルニコチノイル酸（以下、TFNA）を含む）の計10農薬とした。

結果の算出に当たって、ニテンピラムは、ニテンピラム、CPMAおよびCPMFのそれぞれについて定量を行い、CPMAおよびCPMFについてはニテンピラムの含量に換算し、これらの和を分析値とした。なお、事前に行った試験法の妥当性評価においてCPMAおよびCPMFがガイドラインの目標値を満たさなかったこと等から、参考値として結果を示した。

また、フロニカミドは、玄米の調査結果においては、フロニカミド、TFNGおよびTFNAのそれぞれについて定量を行い、TFNGおよびTFNAについてはフロニカミドの含量に換算し、これらの和を分析値とした。蜂蜜の調査結果においては、基準に含まれる代謝物が異なることから、フロニカミドおよびTFNAをフロニカミドの含量に換算したものの和を分析値とし、参考値として結果を示した。

2. 3 内部標準物質

アセタミブリド-d3、イミダクロブリド-d4、クロチアニジン-d3 およびチアメトキサム-d3

2. 4 標準品

農薬標準品は和光純薬工業の残留農薬試験用標準品を、内部標準物質は Sigma-Aldrich Japan の分析用標準品を用いた。

2. 5 装置および測定条件

粉碎機：シー・エム・ティ TI-300
 振とう機：タイテック RECIPRO SHAKER SR-2W
 遠心機：久保田製作所 5400
 HPLC 装置：島津製作所 LC 20A
 分析カラム：東ソー TSKgel ODS-100V (2.0mmI.D.
 ×150mm、粒子径 3 μ m)
 移動相：(A 液) 0.1% ギ酸水溶液、(B 液) 0.1% ギ酸含有メタノール
 グラジエント条件：B (%) ; 10% (0min) -10% (1min)
 -40% (6min)-65% (12min)-95% (15min)-95% (20min)
 -10% (20.1min) -10% (27.1min)
 流速：0.2mL/min、カラム温度：40°C、注入量：5 μ L
 タンデム型質量分析計：SCIEX 製 3200QTRAP
 イオン化法：ESI(+)/(−)、イオンソース温度：500°C
 プローブ電圧：5500/-4000 (V)
 化合物ごとの測定条件を表 3 に示す。

表 3 MRM トランジション

化合物名	RT (min)	ESI	定量イオン(m/z)
			Q1 > Q3
アセタミブリド	11.5	+	223 > 126
イミダクロブリド	10.6	+	256 > 209
エチプロール	17.1	+	397 > 351
クロチアニジン	10.8	-	248 > 58
ジノテフラン	7.3	+	203 > 129
チアクロブリド	12.5	+	253 > 126
チアメトキサム	9.2	+	292 > 211
ニテンピラム	7.9	+	271 > 126
フィプロニル	17.9	-	435 > 330
フロニカミド	9.0	+	230 > 203
CPMA	7.9	+	256 > 126
CPMF	6.4	+	212 > 126
TFNA	8.9	+	192 > 148
TFNG	8.4	-	247 > 146
アセタミブリド_d3	11.5	+	226 > 126
イミダクロブリド_d4	10.6	+	260 > 213
クロチアニジン_d3	10.8	-	251 > 58
チアメトキサム_d3	9.2	+	295 > 214

2. 6 試験溶液の調製

既報¹⁴⁾に従って試験溶液を調製した。スキームを図 1 に示す。

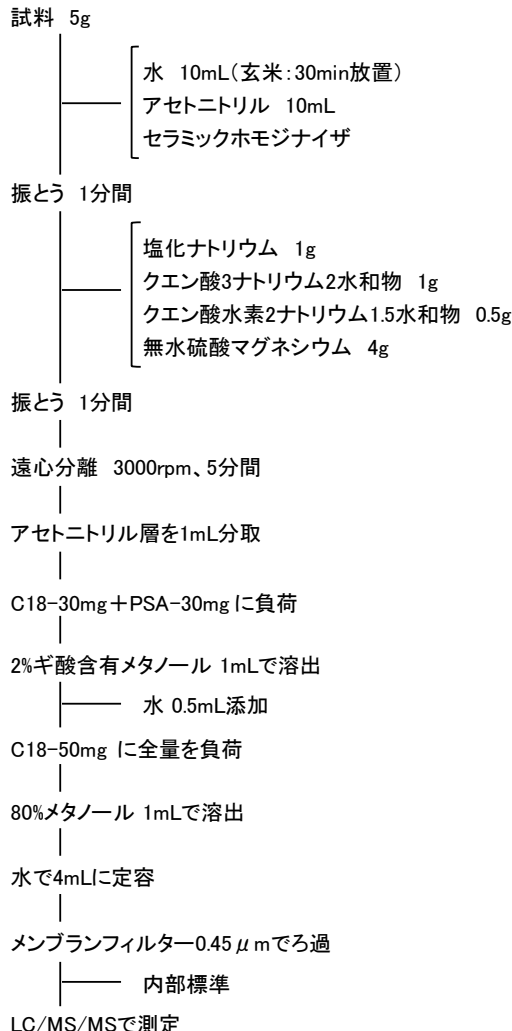


図 1 試験溶液の調製方法

2. 7 定量

あらかじめ調査対象農薬が含まれていないことを確認した蜂蜜および玄米を、試料と同様に操作し、マトリックス溶液を得た。得られたマトリックス溶液で混合標準溶液を希釈し、0.5-25ng/mL のマトリックス標準溶液を調製した。

試験溶液およびマトリックス標準溶液に内部標準溶液を各 25ng/mL で添加した後、LC/MS/MS に注入し、得られたクロマトグラムのピーク面積から内部標準法により定量した。本法の定量限界は 0.01ppm である。

結果の算出に当たって、各調査試料については、まず、n=1 で試験を行い、そのうち、調査対象農薬が検出されたものについては n=3 で再試験を行った。検出検体については、さらに、当センターが行政検査において実施している残留農薬一斉分析法を用いて、蜂蜜では 244 農薬、玄米では 333 農薬の測定を行った。対象農薬は、既報¹⁵⁾記載のとおりである。

3. 結果および考察

3. 1 市販蜂蜜の調査結果

蜂蜜 56 検体について調査した結果を表 4、5 に示した。調査した 56 検体中、農薬が検出されたのは 6 検体で、蜜の種類別に見ると、ミカン蜂蜜からの検出（検出率 62%）が多くかった（図 2）。検出検体における残留濃度は、アセタミブリドが 0.02-0.14ppm（基準値 0.2ppm）、イミダクロブリドが nd-0.01ppm（基準値 0.01ppm）で、基準値を超えて検出された農薬はなかった。

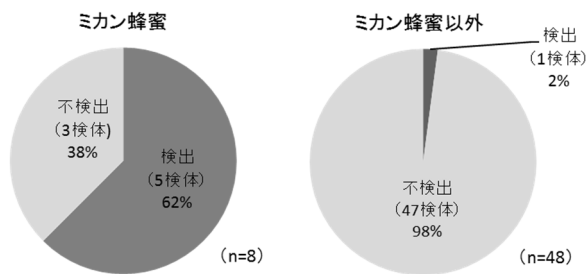


図 2 調査対象農薬の検出状況（蜜の種類別）

表 4 蜂蜜の調査結果

蜜の種類	調査 検体数	検出 検体数	検出濃度 (ppm)									
			アセタミ ブリド	イミダクロ ブリド	エチブ ロール	クロチア ニジン	ジノテフ ラン	チアクロ ブリド	チアメト キサム	ニテンビ ラム ^{※2}	フィプロ ニル	フロニカミ ド ^{※3}
百花	14	0	nd ^{※1}	nd	nd	nd	nd	nd	nd	(nd)	nd	(nd)
アカシア	11	0	nd	nd	nd	nd	nd	nd	nd	(nd)	nd	(nd)
ミカン	8	5	nd-0.14	nd-0.01	nd	nd	nd	nd	nd	(nd)	nd	(nd)
リンゴ	5	0	nd	nd	nd	nd	nd	nd	nd	(nd)	nd	(nd)
レンゲ	4	0	nd	nd	nd	nd	nd	nd	nd	(nd)	nd	(nd)
クローバー	3	1	nd-0.09	nd	nd	nd	nd	nd	nd	(nd)	nd	(nd)
トチ	3	0	nd	nd	nd	nd	nd	nd	nd	(nd)	nd	(nd)
からす山椒	2	0	nd	nd	nd	nd	nd	nd	nd	(nd)	nd	(nd)
菜の花	2	0	nd	nd	nd	nd	nd	nd	nd	(nd)	nd	(nd)
ハゼ	2	0	nd	nd	nd	nd	nd	nd	nd	(nd)	nd	(nd)
桜	1	0	nd	nd	nd	nd	nd	nd	nd	(nd)	nd	(nd)
そば	1	0	nd	nd	nd	nd	nd	nd	nd	(nd)	nd	(nd)
計	56	6	(検出率:11%)									

※1 定量限界(0.01ppm)未満を示す。

※2 ニテンビラム並びにCPMAおよびCPMFをニテンビラムの含量に換算したものの和。参考値。

※3 フロニカミドおよびTFNAをフロニカミドの含量に換算したものの和。参考値。

表 5 検出検体における農薬の検出状況

採蜜年	試料	蜜の種類 (採蜜地)	検出農薬	検出濃度 ^{※1} (ppm)	残留基準 (ppm)	定量限界 (ppm)	その他 検出農薬 ^{※2}
2015	a	ミカン (国内)	アセタミブリド	0.14 ± 0.005	0.2	0.01	
	b	ミカン (国内)	アセタミブリド	0.06 ± 0.005	0.2	0.01	クレスキシムメチル(0.02)
	c	ミカン (国内)	アセタミブリド	0.01 ± 0.001	0.2	0.01	クレスキシムメチル(0.02)
	d	ミカン (宮崎県)	アセタミブリド イミダクロブリド	0.02 ± 0.001 0.01 ± 0.001	0.2	0.01	クレスキシムメチル(0.01)
2016	e	ミカン (国内)	アセタミブリド	0.12 ± 0.003	0.2	0.01	クレスキシムメチル(0.01)
	f	クローバー (青森県)	アセタミブリド	0.09 ± 0.001	0.2	0.01	

※1 平均値±標準偏差(n=3)

※2 当センターで実施している農薬一斉分析により検出された農薬および検出濃度(ppm)

アセタミブリド（商品名：モスピラン 他）およびイミダクロブリド（商品名：アドマイヤー 他）は、それぞれ 1995 年、1992 年に農薬登録されたネオニコチノイド系殺虫剤で、高い浸透移行性を有する。柑橘栽培においては、ミカンハモグリガやアブラムシ類に対して高い防除効果を持つことから、苗木や春芽・夏芽伸長期に使用されることが多い。また、今回農薬が検出されたミカン蜂蜜 5 検体について、当センターで実施している残留農薬一斉分析法を用いて 244 農薬を測定したところ、果樹類の抗菌剤として使用されるクレスキシムメチルが 4 検体から検出された。これらのことから、今回ミカン蜂蜜において検出された 2 農薬は、ミカンの栽培時に使用された薬剤に由来し、果樹の花粉や花蜜、溢水等に残留していた農薬がミツバチを介して蜂蜜で検出されたものと推定された。

調査でミカン蜂蜜から検出されたアセタミブリドの最大値は 0.14ppm で、これは基準値の 7 割に相当する。農薬の使用方法や採蜜の時期によっては、さらに高濃度で検出される可能性もある。このことから、栽培時に農薬が使用される果樹等の花を蜜源とする蜂蜜については、今後、残留農薬の監視を強化していく必要があると思われる。

3. 2 県内産玄米の調査結果

玄米 30 検体について調査した結果を表 6、7 に示した。調査した 30 検体中、17 検体からネオニコチノイド系農薬のクロチアニジンおよびジノテフラン、ならびにフェニルピラゾール系農薬のエチプロールが検出され、検出率は 57% であった。検出検体における残留濃度は、クロチアニジンが nd-0.06ppm (基準値 1ppm)、ジノテフランが nd-0.25ppm (基準値 2ppm)、エチプロールが nd-0.01ppm (基準値 0.2ppm) で、いずれも基準値を大きく下回っていた。

玄米についても、当センターの残留農薬一斉分析法を用いて 333 農薬を測定したところ、表 7 に示した農薬が検出された。いずれも水稻に適用がある農薬であり、検出濃度は基準値を下回っていた。

クロチアニジン (商品名: ダントツ 他) やジノテフラン (商品名: スタークル、アルバリン 他) は、共に 2002 年に農薬登録された比較的新しいネオニコチノイド系殺虫剤で、稻作においては出穂期のカメムシ防除に使用

されることが多い。両薬剤とも浸透移行性を有し、カメムシ類を中心とした広範な害虫に対し吸汁阻害効果を持つ。エチプロール (商品名: キラップ 他) は 2005 年に農薬登録されたフェニルピラゾール系農薬で、こちらもカメムシ類やウンカ類に高い活性を示す。ジノテフランは粉剤・水和剤等として航空防除や地上共同防除に使用されることも多く、近年、国内における出荷量が急速に伸びている。県内においても、水稻にこれらの薬剤が使用されていることから、調査で検出された 3 農薬は栽培時に使用された薬剤が穀粒に残留したものと思われる。

農薬別の検出率は、ジノテフランが 30 検体中、15 検体から検出され (検出率 50%)、最も高かった (図 3)。農林水産省が実施している農薬の残留状況調査結果¹⁶⁾においても、国内産玄米から同農薬が高率で検出されている。東京都の調査¹¹⁾によれば、近年、野菜・果実における有機リン系農薬や有機塩素系農薬の検出が減少傾向にある中、ジノテフランをはじめとするネオニコチノイド系農薬については検出率が増加している。

表 6 玄米の調査結果

品種	調査 検体数	検出 検体数	検出濃度 (ppm)									
			アセタミブ リド	イミダクロ ブリド	エチプロ ール	クロチア ニジン	ジノテフ ラン	チアクロ ブリド	チアメ キサム	ニテンビ ラム ^{※2}	フィプロニ ル	フロニカミ ド ^{※3}
コシヒカリ	23	15	nd ^{※1}	nd	nd	nd-0.06	nd-0.25	nd	nd	(nd)	nd	nd
あきさかり	5	1	nd	nd	nd	nd	nd-0.03	nd	nd	(nd)	nd	nd
ハナエチゼン	1	1	nd	nd	0.01	nd	0.05	nd	nd	(nd)	nd	nd
日本晴	1	0	nd	nd	nd	nd	nd	nd	nd	(nd)	nd	nd
計	30	17	(検出率: 57%)									

※1 定量限界 (0.01ppm) 未満を示す。

※2 ニテンビラム並びにCPMAおよびCPFMをニテンビラムの含量に換算したものの和。参考値。

※3 フロニカミド並びにTFNGおよびTFNAをフロニカミドの含量に換算したものの和。

表 7 検出検体における農薬の検出状況

生産年	試料	品種	検出農薬	検出濃度 ^{※1} (ppm)	残留基準 (ppm)	定量限界 (ppm)	その他 検出農薬 ^{※2}
2014	A	コシヒカリ	ジノテフラン	0.17 ± 0.016	2	0.01	
	B	コシヒカリ	ジノテフラン	0.13 ± 0.011	2	0.01	フラメトビル(0.01)
	C	コシヒカリ	ジノテフラン	0.06 ± 0.003	2	0.01	
	D	コシヒカリ	ジノテフラン	0.06 ± 0.004	2	0.01	
2015	E	コシヒカリ	クロチアニジン	0.06 ± 0.001	1	0.01	
	F	コシヒカリ	ジノテフラン	0.25 ± 0.005	2	0.01	シラフルオフェン(0.02)、トリシクラゾール(0.12)
	G	コシヒカリ	ジノテフラン	0.16 ± 0.008	2	0.01	
	H	コシヒカリ	ジノテフラン	0.13 ± 0.008	2	0.01	シラフルオフェン(0.01)、トリシクラゾール(0.08)
	I	コシヒカリ	ジノテフラン	0.02 ± 0.001	2	0.01	
	J	コシヒカリ	ジノテフラン	0.02 ± 0.001	2	0.01	フラメトビル(0.01)
2016	K	コシヒカリ	クロチアニジン	0.04 ± 0.001	1	0.01	トリシクラゾール(0.14)
	L	コシヒカリ	ジノテフラン	0.07 ± 0.001	2	0.01	トリシクラゾール(0.04)
	M	コシヒカリ	ジノテフラン	0.03 ± 0.0003	2	0.01	
	N	コシヒカリ	ジノテフラン	0.03 ± 0.001	2	0.01	
	O	コシヒカリ	ジノテフラン	0.01 ± 0.001	2	0.01	フェリムゾン(0.03)、メトミノストロビン(0.04)
	P	あきさかり	ジノテフラン	0.03 ± 0.001	2	0.01	
	Q	ハナエチゼン	エチプロール ジノテフラン	0.01 ± 0.001 0.05 ± 0.0003	0.2 2	0.01	シラフルオフェン(0.01)、トリシクラゾール(0.02) ベンシクロン(0.04)

※1 平均値±標準偏差 (n=3)

※2 当センターで実施している農薬一斉分析により検出された農薬および検出濃度 (ppm)

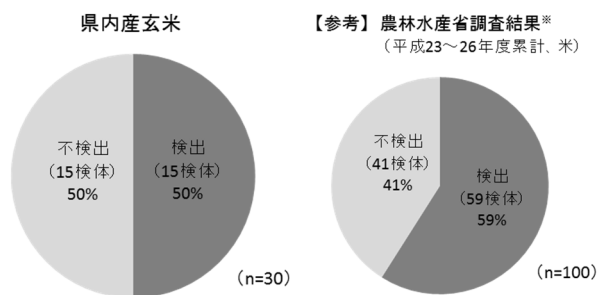


図3 玄米におけるジノテフラン検出状況
(※農林水産省「国内農産物における農薬の使用状況及び残留状況調査結果」より作成)

米は日本人の主食であり、日々の食生活において摂取量の多い食品のひとつである¹⁷⁾。食品を介した農薬摂取量の推計¹⁸⁾においても米が寄与する割合は大きい。精米による残留農薬の除去効果について検討した渡邊ら、坂らの報告^{19,20)}によれば、ジノテフランやクロチアニジン等の浸透性農薬は logPow の大きい他の農薬に比べ精米後の残存率が高いとされ、このことからも、米におけるネオニコチノイド系農薬等の残留状況調査は重要と言える。

今回の調査では、県内産玄米におけるネオニコチノイド系農薬等の残留濃度が低いことが確認され、県内においては、これらの農薬が適正な使用方法を守って使用されていると推定された。今後は、調査に用いた試験を行政検査に導入し、ネオニコチノイド系農薬等を含めた残留農薬の検査を実施していくことにより、県産米の安全性の確認に努めたいと考えている。

4. まとめ

平成 26 年 9 月から平成 28 年 9 月に福井県内に流通していた蜂蜜 56 検体、玄米 30 検体について、ネオニコチノイド系農薬等 10 農薬の残留実態調査を行った。その結果、蜂蜜についてはミカン蜂蜜等 6 検体からアセタミブリドおよびイミダクロブリドが検出された。玄米については、17 検体からクロチアニジン、ジノテフランおよびエチプロールが検出された。いずれの試料においても、基準値を超えて検出された農薬はなかった。

蜂蜜については、ミカン蜂蜜からアセタミブリドが高率で検出され（検出率 62%）、検出濃度も比較的高かった。これは、蜜源となる果樹において栽培時に使用された農薬に由来すると考えられ、今後、蜜源における農薬の使用状況に応じて残留農薬の監視を強化していく必要があると思われる。

参考文献

- 1) Henry M. et al. : A Common Pesticide Decreases Foraging Success and Survival in Honey Bees. *Science*, 336(6079), 348-350(2012)
- 2) Whitehorn P.R. et al. : Neonicotinoid Pesticide Reduces Bumble Bee Colony Growth and Queen Production. *Science*, 336(6079), 351-352 (2012)
- 3) Goulson D. : An Overview of the Environmental Risks Posed by Neonicotinoid Insecticides. *Journal of Applied Ecology*, 50, 977-987(2013)
- 4) Woodcock B.A. et al. : Impacts of Neonicotinoid Use on Long-term Population Changes in Wild Bees in England. *Nature Commun.* 2016 Aug 16;7:12459. DOI: 10.1038/ncomms12459(2016)
- 5) UNEP(2010)-UNEP Emerging Issues : Global Honey Bee Colony Disorder and Other Threats to Insect Pollinators.
http://www.unep.org/dewa/Portals/67/pdf/Global_Bee_Colony_Disorder_and_Threats_insect_pollinators.pdf
- 6) (独)農研機構 畜産草地研究所：夏期に北日本水田地帯で発生が見られる巣箱周辺でのミツバチ斃死の原因について (2014.7.18 公表)
http://www.naroaffrc.go.jp/publicity_report/press/laboratory/nilgs/053347.html
- 7) 農林水産省：平成 26 年度蜜蜂被害事例調査の結果と今後の対策について (2015.6 月公表)
http://www.maff.go.jp/j/nouyaku/n_mitubati/honeybee_survey.html
- 8) 農林水産省：農薬による蜜蜂の危害を防止するための我が国の取組 (2015.9 月改訂)
http://www.maff.go.jp/j/nouyaku/n_mitubati/index.html
- 9) 日本植物防疫協会：農薬要覧 2015, (2015)
- 10) 日本植物防疫協会：農薬ハンドブック 2016 年版(2016)
- 11) 富澤早苗, 大塚健治, 田村康宏 他：国内産野菜・果実類中の残留農薬実態調査-平成 26 年度-, 東京都健康安全研究センター研究年報, 66, 185-195,(2015)
- 12) 谷澤春奈, 佐々野僚一, 大関由利子:LC/MS/MS を用いた残留農薬の多成分迅速一斉分析法の検討, 第 95 回食品衛生学会学術講演会講演要旨集, P39, A-21(2008)
- 13) Otake T. et al. : Proficiency Testing for Quantification of Pesticide Residues in Treated Brown Rice Samples: Comparison of Performance of Japanese Official Multiresidue, Modified QuEChERS, and QuEChERS Methods. *Journal of AOAC International*, 99(3), 821-829(2016)
- 14) 平井知里, 山岸浩 : QuEChERS 法を用いた蜂蜜および玄米中ネオニコチノイド系農薬等の一斉分析法の検討, 福井県衛生環境研究センター年報, 14, 32-39(2015)
- 15) 福井県衛生環境研究センター年報, 15, II 業務報告 (2014)
- 16) 農林水産省：国内産農産物における農薬の使用状況及び残留状況調査の結果について
http://www.maff.go.jp/j/nouyaku/n_monitor.html
- 17) 厚生労働省：平成 17~19 年度の食品摂取頻度・摂取量調査の特別集計業務報告書
http://www.mhlw.go.jp/stf/seisakunitsuite/bunya/kenkou_iryou/shokuhin/zanryu/index.html
- 18) 厚生労働省：食品中の残留農薬等一日摂取量調査結果
http://www.mhlw.go.jp/stf/seisakunitsuite/bunya/kenkou_iryou/shokuhin/zanryu/index.html
- 19) 渡邊美奈恵, 上野英二, 梅村優子, 市川義多加, 戸塚昌子, 棚橋高志, 猪飼聟友, 上山純, 斎藤勲 : 愛知県内に流通する農産物中のネオニコチノイド系殺虫剤の実態調査, 第 39 回農薬残留分析研究会講演要旨集, 231-236(2016)
- 20) 坂真智子, 飯島和昭, 西田真由美, 狩由紀子, 長谷川直美, 佐藤清, 加藤保博 : 加工および調理による米試料中残留農薬の濃度変化, 食品衛生学雑誌, 49(3), 141-149(2008)

ノート

HBCD の溶出・分解試験について

山崎隆博・吉川昌範

Dissolution and Degradation Tests of Hexabromocyclododecane

Takahiro YAMAZAKI, Masanori YOSHIKAWA

1. はじめに

ヘキサブロモシクロドデカン (HBCD : C₁₂H₁₈Br₆) は臭素系難燃剤として優れた性質から、毎年 3000 トン弱が樹脂製品・繊維製品などに使用されてきた。一方で POPs としての有害性に関する報告もあり、2013 年 5 月にストックホルム条約の規制対象物質、2014 年 5 月に化審法第一種特定化学物質に指定され、現在は原則的に製造・輸入が禁止されている。

これまでの研究で、福井県内河川の水質および底質中に、高濃度の HBCD が検出された。また、高濃度河川を対象に流域を区切った調査の結果、発生源と思われる事業所を推定できた。

HBCD の環境実態に関する研究事例は多いが、HBCD の溶出や分解についての知見に乏しいのが現状である。そこで平成 28 年度は、HBCD の底質から水質への移行に関する知見を得ることを目的として溶出試験を実施した。また、難分解性である HBCD の水質濃度を低減化する方法を検討するため、分解試験を実施した。

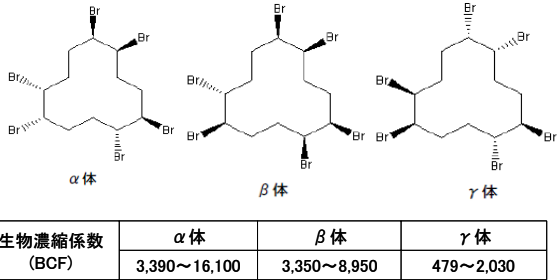


図 1 ヘキサブロモシクロドデカン(HBCD)の構造式

2. 方法

2. 1 溶出試験

過去の調査¹⁾において高濃度の HBCD が検出された県内河川の底質を用いて、HBCD の溶出試験を実施した。

底質(乾泥)2.5g と純水 300ml をビーカーに入れ(アルミ箔で遮光)、マグネットスターラーで底質が巻き上がらない程度に 24 時間攪拌した場合と、攪拌しない(静置)場合について試験した。24 時間攪拌した試料を、ろ過により水質試料と底質試料とに分離し、その際、底質試料は 20ml 程度の超純水で洗浄し、洗浄水を水質試料に加えた。

各試料中の HBCD (α 、 β 、 γ) について、過去に報告した分析法²⁾を用いて LC-MS/MS で測定し、異性体毎の溶出率を求めた。

なお、溶出率は、底質中と水質中の HBCD の合計量に対する水質中の HBCD の割合から算出した。

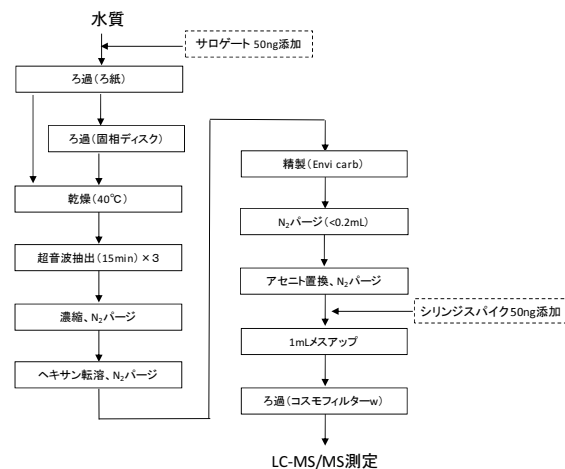


図 2 水質試料分析フロー

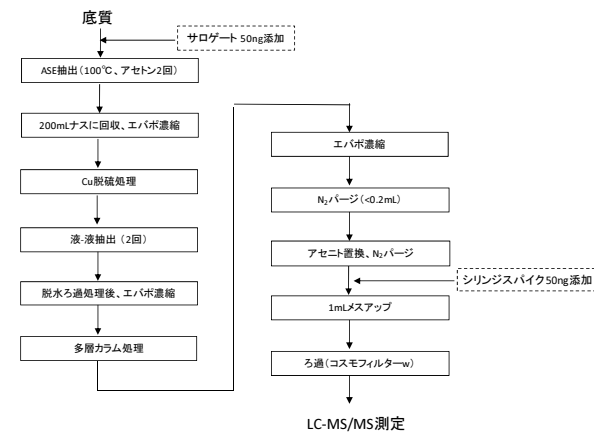


図 3 底質試料分析フロー

2. 2 分解試験

県内河川で採取した河川水 5L を紫外線オゾン分解装置(セン特殊光源㈱製 UZ1101G-34 光量：ランプから 5cm の距離で 120μW/cm² ポンプ出力：8L/min)を用いて、分解試験を行った。分解試験開始時、15 分、30 分、45 分、60 分経過時に水を各 800mL 採取し、当該試料にサロゲートを 50ng 加えて、溶出試験の水質試料と同様の分析法により、LC-MS/MS で測定した。

今回の分解試験では、紫外線とオゾンによる分解効果を見るため、「紫外線+ばつ気」、「紫外線のみ」、「ばつ気のみ」の 3 条件で試験を行い、その結果を比較した。

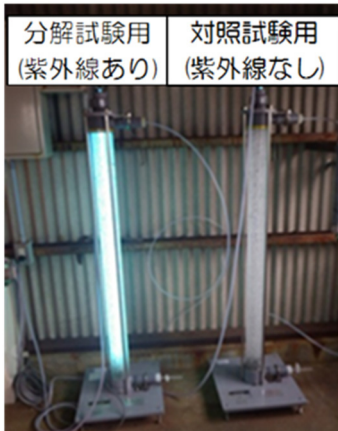


図4 紫外線オゾン分解装置

表2 静置時の分析結果

n		α 体	β 体	γ 体
1	水質(ng)	15.4	3.6	50.7
	底質(ng)	354.6	75.1	1323.4
	溶出率(%)	4.2	4.6	3.7
2	水質(ng)	7.8	1.7	20.9
	底質(ng)	282.8	59.9	1300.5
	溶出率(%)	2.7	2.7	1.6
3	水質(ng)	5.3	1.3	15.9
	底質(ng)	299.5	63.2	1254.3
	溶出率(%)	1.7	2.1	1.3

3. 結果と考察

3. 1 溶出試験

溶出試験の結果を以下に示す。攪拌した場合 ($n=3$) の溶出率の平均値は、 α 体 6.9%、 β 体 5.6%、 γ 体 4.3% であった。 α 体の溶出率が最も高く、次いで β 体、 γ 体と異性体毎に底質から水質への溶出率に差があった。また、攪拌しない場合（静置時）の結果 ($n=3$) では、 α 体 2.9%、 β 体 3.1%、 γ 体 2.2% と γ 体が最も溶出しにくいという結果であった。いずれの試験でも、底質から水質への HBCD の溶出が確認され、その割合は攪拌の方が静置時に比べ大きかった。また、異性体別では攪拌時、静置時共に γ 体が最も溶出されにくいうる結果であった。

表1 攪拌時の分析結果

n		α 体	β 体	γ 体
1	水質(ng)	30.6	5.3	49.3
	底質(ng)	371.0	77.8	1050.3
	溶出率(%)	7.6	6.4	4.5
2	水質(ng)	26.1	4.9	45.5
	底質(ng)	323.7	83.1	1245.1
	溶出率(%)	7.5	5.6	3.5
3	水質(ng)	29.6	5.3	66.5
	底質(ng)	483.4	102.2	1262.4
	溶出率(%)	5.8	4.9	5.0

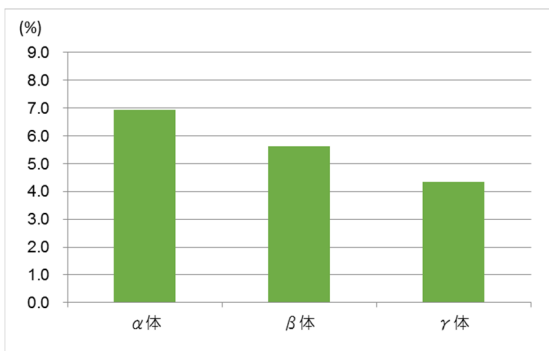
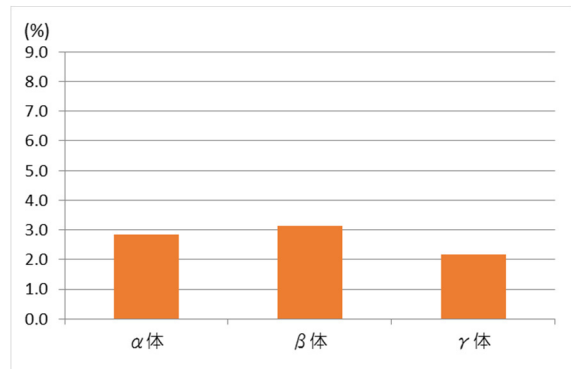


図5 攪拌時の溶出率 (%) (n=3)



当センターの過去の報告¹⁾によると、福井県において HBCD が比較的高濃度で検出された地点における底質、水質中の HBCD 異性体比率は、底質中の α 体が概ね 10% 未満であったのに対し、水質中では 10%以上を占める河川が多かった。また、底質中の γ 体は概ね 90%を超えていたのに対し、水質中の γ 体は概ね 70%から 80% であった。(一般的な工業用 HBCD の組成比は、 γ 体が最も多く、 α : 10-13%、 β : 1-12%、 γ : 75-89% といわれている。)

福井県内の底質中の HBCD の異性体比は、水質の異性対比に比べ γ 体の割合が大きく、 α 体が溶出しやすく、 γ 体が溶出しにくいという試験結果と一致していた。このことから、今後、底質中の HBCD は α 体がより減少することで γ 体の割合が徐々に高くなっていくと推定される。

3. 2 分解試験

分解試験の結果を表3、図7~図9に示す。いずれの条件でも 60 分間の分解試験において濃度の減少が見られた。

「紫外線+ばっ気」では 60 分間で 70%以上の HBCD が減少し、「紫外線のみ」の試験でも 60 分間で 60%以上の HBCD が減少した。異性体別では、 α 体の減少率が最も大きく、次いで γ 体、 β 体であった。また、「ばっ気のみ」でも、HBCD の減少がみられ、特に α 体が約 30% 減少した。これは、水質中に含まれる HBCD が、ばっ気により大気中に放出されたためと推測された。

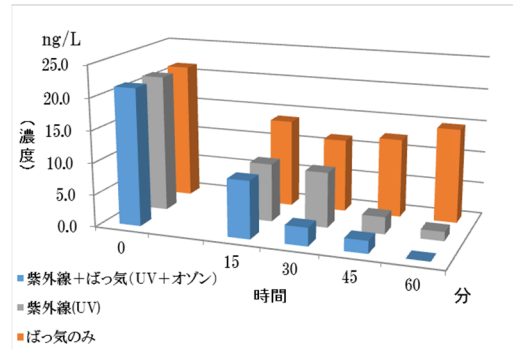
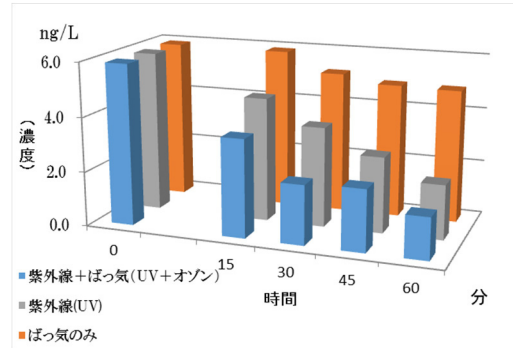
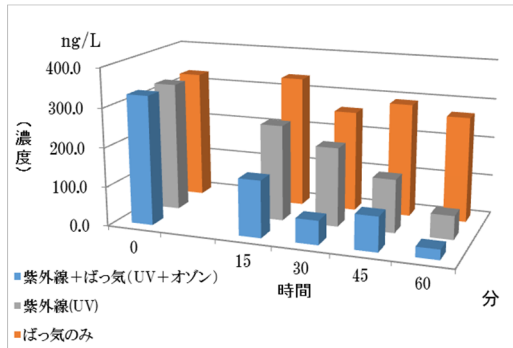
図 7 濃度推移 (α -HBCD)図 8 濃度推移 (β -HBCD)図 9 濃度推移 (γ -HBCD)

表 3 分解試験による HBCD 濃度 (ng/L)

条件		分解時間	0分	15分	30分	45分	60分	60分での減少率
α 体	ばっ気+紫外線 (O ₃ +UV)		21.4	9.0	2.9	2.0	ND	100%
	紫外線(UV)		21.4	9.1	8.7	2.7	1.4	93.3%
	ばっ気		21.4	13.8	11.5	12.4	14.7	31.2%
β 体	ばっ気+紫外線 (O ₃ +UV)		5.9	3.6	2.2	2.3	1.5	74.2%
	紫外線(UV)		5.9	4.5	3.7	2.8	2.0	66.2%
	ばっ気		5.9	5.9	5.2	4.9	4.9	17.8%
γ 体	ばっ気+紫外線 (O ₃ +UV)		329.3	144.8	61.1	87.9	25.9	92.1%
	紫外線(UV)		329.3	245.2	201.3	135.8	60.4	81.7%
	ばっ気		329.3	336.8	259.1	290.4	268.4	18.5%

4. まとめ

4. 1 溶出試験

溶出試験では、攪拌時、静置時ともに HBCD の底質から水質への溶出が見られ、その割合は攪拌時の方が大きかった。また、異性体毎では、 γ 体が最も溶出されにくいという結果であった。今後、底質中の HBCD は α 体が減少することで γ 体の割合が徐々に高くなっていくものと推定される。

4. 2 分解試験

水質中の HBCD は紫外線オゾン分解装置による 60 分間の試験で、「紫外線+ばっ気」の場合で、70%以上減少した。また、「紫外線のみ」の試験でも 60%以上減少した。

HBCD の低減化に紫外線が有効であることが判明した。

謝辞

本研究は文部科学省「特別電源所在県科学技術振興事業費補助金」により、「化学物質対策調査研究事業（平成 26~28 年度）」として実施したものであり、御協力を賜りました関係者の方々に感謝申し上げます。

参考文献

- 1) 三木崇 他：福井県内における HBCD の実態について（第 2 報），福井県衛生環境研究センター年報，14, 64-68(2015)
- 2) 三木崇 他：福井県内における HBCD の実態について，福井県衛生環境研究センター年報，13, 74-78(2014)